

## اندازه‌گیری تیوپنتال در محیط آبی با استفاده از خواص الکتروکاتالیزوری کتکول

مصطفی نجفی<sup>\*</sup>، محسن عامری<sup>۲</sup>، امید قادری<sup>۳</sup>

۱- دانشیار دانشگاه جامع امام حسین(ع) ۲- دانشجوی دکتری ۳- استادیار دانشگاه سمنان

(دریافت: ۹۲/۱۲/۱۸، پذیرش: ۹۳/۱۰/۰۴)

### چکیده

در این مقاله، اکسایش الکتروشیمیایی کتکول در حضور تیوپنتال در سطح الکترود کربن شیشه‌ای (GC) در بافر فسفات (۰/۲ مول بر لیتر، pH=۶/۰) با استفاده از ولتاوتمتری چرخه‌ای مورد بررسی قرار گرفت. نتایج نشان داد جریان قله کاتدی کتکول در حضور غلظت‌های مختلف تیوپنتال کاهش می‌یابد و کتکول می‌تواند در یک واکنش افزایش ۱۰۴ مایکل تحت یک سازوکار الکتروشیمیایی-شیمیایی (EC) با تیوپنتال واکنش دهد. در ادامه روش ولتاوتمتری پالسی تفاضلی برای اندازه‌گیری تیوپنتال استفاده شد. کاهش جریان کاتدی کتکول یک رابطه خطی با غلظت‌های مختلف تیوپنتال در محدوده ۵/۰ تا ۱۲۵/۰ میکرومول بر لیتر و حد تشخیص ۲/۰ میکرو مول بر لیتر نشان می‌دهد. از این روش با موفقیت در تعیین تیوپنتال در نمونه‌های سرم انسانی استفاده شد.

**کلید واژه‌ها:** تیوپنتال، کتکول، الکترود کربن شیشه‌ای، ولتاوتمتری.

## Determination of Thiopental in Aqueous Media Using Catechol Electrocatalytic Properties

M. Najafi\*, M. Ameri, O. Ghaderi

Imam Hossein University

(Received: 09/03/2014; Accepted: 25/12/2014)

### Abstract

In this paper ,the electrochemical oxidation of catechol was studied in the presence of thiopental in phosphate buffer solution ( $0.2 \text{ mol L}^{-1}$ , pH=6.0) at the surface of glassy carbon electrode (GC) by cyclic voltammetry technique. The results showed that cathodic peak current of catechol reduced in the presence of various concentrations of thiopental and catechol can participate in a 1,4-Michael addition reaction with thiopental under an electrochemical – chemical (EC) mechanism. Then, the differential pulse voltammetry technique is used for determination of thiopental. The decreasing of the cathodic current of catechol showed a linear relationship with the thiopental concentration in the range of  $5.0 \times 10^{-6}$ -  $125.0 \times 10^{-6} \text{ mol L}^{-1}$  and a detection limit of  $2.0 \times 10^{-6} \text{ mol L}^{-1}$ .The method was successfully applied for determination of thiopental in human serum samples.

**Keywords:** Thiopental, Catechol, Glassy Carbon Electrode, Voltammetry.

شد و با استفاده از بافر تا حجم ۱۵ میلی لیتر رقیق گردید. برای تهیه سرم خون انسانی به ترتیب زیر عمل شد. نمونه خون بالا فاصله پس از دریافت و قبل از لخته شدن سانتریفیوژ شد. به ازای هر یک میلی لیتر از پلاسمای حاصل حدود  $1/25$  میلی لیتر استونیتیریل اضافه شد تا پروتئین های آن جدا شوند. سپس مخلوط به دست آمده دوباره سانتریفیوژ شده و قسمت بالای لوله سانتریفیوژ به عنوان سرم انسانی جدا شد. سرم تهیه شده برای جلوگیری از فاسد شدن در یخچال و در دمای  $4^{\circ}\text{C}$  درجه سانتیگراد نگهداری شده و ۳ دقیقه قبل از استفاده از یخچال خارج شده است. تمامی مراحل افزودن استونیتیریل و سانتریفیوژ در دمای محیط ( $25\pm 2^{\circ}\text{C}$ ) انجام گرفته است. در تمام آنالیزها ابتدا سطح الکترود کربن شیشه ای در دوغابی از پودر آلمینیمی  $0.05\text{ mm}$  میکرومتر با استفاده از یک پارچه نرم به خوبی صیقل داده شد، سپس با استفاده از آب دو بار تقطیر شسته شد.

## ۲-۲. دستگاه های مورد استفاده

دستگاه Metrohm 757 VA Computracer برای اندازه گیری های الکتروشیمیایی به کار رفته است. این دستگاه مجهز به یک سامانه سه الکترودی متشکل از الکترود کار (الکترود کربن شیشه ای)، الکترود مرجع نقره / نقره کلراید  $\text{Ag}/\text{AgCl}$  و الکترود ممکن پلاتین (دیسکی) می باشد. اندازه گیری pH با فرهای مختلف توسط دستگاه pH متر  $\text{W}_3\text{B}$  ساخت شرکت BEL (ایتالیا) انجام شد.

## ۳. نتایج و بحث

### ۳-۱. بررسی رفتار الکتروشیمیایی کتکول در حضور تیوبینتال با استفاده از ولتا متري چرخه ای

ولتا موگرام چرخه ای محلول  $2/0$  میلی مول بر لیتر کتکول در بافر فسفاتی  $0/2$  مول بر لیتر،  $\text{pH}=6/0$ ، دمای اتاق) در شکل (۱) منحنی الف نشان داده شده است. در این ولتا موگرام قله آندی ( $A_1$ ) مربوط به اکسایش کتکول و تبدیل آن به ارتوکینون و یک قله کاتندی ( $C_1$ ) مربوط به کاهش ارتوکینون و تبدیل آن به کتکول (شکل (۱)، منحنی a) می باشد. فرآیند اکسایش - کاهش کتکول به صورت دو الکترونی و شبه برگشت پذیر می باشد [۱۳]. شکل (۱)، منحنی b، ولتا موگرام چرخه ای ثبت شده برای محلول  $2/0$  میلی مول بر لیتر کتکول را در حضور غلظت  $2/0$  میلی مول بر لیتر تیوبینتال در بافر فسفات (۰/۰ مول بر لیتر، دمای اتاق،  $\text{pH}=6/0$ ) شان می دهد. همان طور که در این منحنی مشاهده می شود قله کاتندی ( $C_1$ ) کتکول به علت واکنش شیمیایی همراه (واکنش افزایش  $1/0$  مایکل) اور توکینون حاصله از اکسایش کتکول با گروه گوگرد تیوبینتال، ناپدید می شود. با توجه به اینکه این کاهش در جریان قله کاتندی ( $C_1$ ) به صورت مستقیم با غلظت تیوبینتال متناسب می باشد می توان از این کاهش جریان برای اندازه گیری غلظت تیوبینتال استفاده کرد.

## ۱. مقدمه

سدیم تیوبینتال (سدیم پنتاتول یا سدیم تیوبینتون یا سدیم تراپانال) یک ترکیب آلی حاوی گوگرد است که دارای فرمول مولکولی  $\text{C}_{11}\text{H}_{17}\text{N}_2\text{O}_2\text{NaS}$  و جرم مولکولی  $264/32$  می باشد. این ماده جزء نمک های تیوباربیتوریک<sup>۱</sup> است که می تواند به عنوان ماده بیهوشی در اثاق عمل استفاده شود [۱]. یکی از کاربردهای تیوبینتال استفاده به عنوان دارو برای بیهوشی های کوتاه مدت می باشد. مدت زمان لازم برای بیهوشی توسط تیوبینتال ۳۰ ثانیه گزارش شده است [۲]. از جمله مهم ترین اثرات تیوبینتال، التهاب ریوی، اثر بر روی کبد، خواب آلودگی نوزاد، جلوگیری و درمان کم خونی مغزی و همچنین ایجاد سمیت در شیر مادر [۳] و [۴] می باشد. تاکنون روش های محدودی از قبیل پتانسیومتری [۴ و ۵]، اسپکتروفوتومتری [۷]، کروماتوگرافی [۸-۱۰] و ولتا متري با عاری سازی جریان [۱۱] برای تعیین آن ارائه شده است. به تازگی نیز روشی برای تعیین تیوبینتال با یک حسگر ظرفیتی گزارش شده است [۱۲]. هر چند تمام این روش ها قابلیت های مخصوص به خود را دارند ولی دارای محدودیت هایی مانند نیاز به مراحل نمونه سازی، پیچیدگی و گران قیمت بودن تجهیزات هستند. از خواص الکتروشیمیایی کتکول برای توسعه روش های اندازه گیری ترکیبات مختلف دارویی استفاده شده است. در این روش، کتکول به عنوان حد واسط الکتروواکتیو عمل می کند و دنبال کردن افزایش یا کاهش جریان های پیک در ولتا موگرام کتکول در حضور ترکیب آزمایشی، اساس توسعه یک روش جدید برای اندازه گیری آن ترکیب خواهد بود. مشتقات تیوراسیل<sup>۲</sup> [۱۳] و کاپتوبریل<sup>۳</sup> [۱۴] از جمله ترکیبات دارویی هستند که با استفاده از این روش اندازه گیری شده اند. بر همین مبنای در این کار تحقیقاتی، روشی ساده برای اندازه گیری تیوبینتال در محیط بیولوژیکی بدون نیاز به مراحل پیچیده جداسازی توسعه داده شده است. با توجه به اهمیت تعیین تیوبینتال در محیط های بیولوژیکی این روش می تواند پاسخگویی برخی نیازها در این حوزه باشد.

## ۲. بخش تجربی

### ۱-۲. مواد

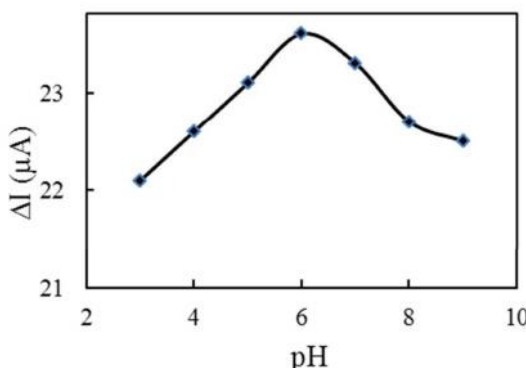
تیوبینتال خالص از شرکت داروسازی Gmhp Sanduz اتریش تهیه گردید. سایر مواد شیمیایی مورد استفاده در این تحقیق، از شرکت مرک یا فلوكا تهیه شده اند و بدون هیچ گونه خالص سازی مورد استفاده قرار گرفتند. در این تحقیق برای ساخت استانداردها غلظت های  $6$  میلی مولار از کتکول و تیوبینتال در بافر فسفاتی ساخته شد و برای ساختن غلظت های پایین از این محلول های مادر استفاده شد. برای ساخت نمونه های حقیقی نیز حجم لازم توسط میکروسنگ برداشته

<sup>1</sup> Thiobarbitoric

<sup>2</sup> Thioracil

<sup>3</sup> Captopril

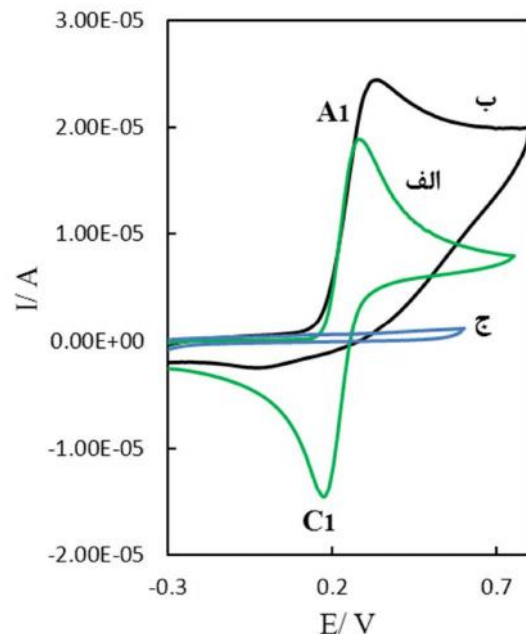
جريان قله کاتدی در دو حالت به عنوان علامت تجزیه‌ای نسبت به pH رسم شد (شکل (۲)). همان‌طور که در شکل (۲) مشاهده می‌شود، تا pH=۶/۰ با افزایش pH علامت تجزیه‌ای افزایش یافته است. به عبارت دیگر هر چه محلول اسیدی‌تر باشد علامت تجزیه‌ای کمتر است. با توجه به ثابت اسیدی تیوبینتال ( $pK_a = ۷/۴$ ) علت این کاهش مربوط به غیر فعال شدن تیوبینتال نسبت به واکنش شیمیایی است. از آن جا که در محیط‌های اسیدی غلظت  $H^+$  زیادتر می‌شود گروه گوگرد تیوبینتال پروتونه شده و در نتیجه از قدرت نوکلوفیلی آن کاسته می‌شود به همین دلیل میزان انجام واکنش شیمیایی همراه توسط تیوبینتال کاهش می‌یابد. با عبور pH از ۶/۰ و با قلیابی شدن محلول نیز علامت تجزیه‌ای کاهش می‌یابد و هر چه افزایش pH بیشتر باشد این کاهش بیشتر است. علت این امر واکنش دیمریزاسیون کتکول در محیط‌های بازی است (پروتونه شدن اکسیژن‌های کتکول و انجام واکنش‌های دون مولکولی) که سرعت انجام این واکنش بسیار بالاتر از سرعت واکنش شیمیایی همراه آن با تیوبینتال می‌باشد [۱۵]. بنابراین برای دستیابی به بیشترین علامت تجزیه‌ای، pH=۶/۰ به عنوان محیط بهینه انتخاب شد.



شکل ۲. بررسی اثر pH بر بزرگی علامت تجزیه‌ای تیوبینتال. غلظت کتکول:  $۲/۰ \text{ mmol L}^{-۱}$ ، غلظت تیوبینتال:  $۵/۰ \mu\text{mol L}^{-۱}$  سرعت رویش:  $۲۰ \text{ mV s}^{-۱}$ .

**بهینه‌سازی محلول الکتروولیت:** محلول‌های الکتروولیت شامل بافرهای استات، فسفات، سیترات و بافر عمومی با pH=۶/۰ و غلظت  $۰/۲$  مولار مورد مطالعه قرار گرفتند. نتایج نشان داد که جریان قله کاهش ارتوکینون در حضور تیوبینتال در محلول بافر فسفات به ترتیب کمترین (بیشترین مقدار واکنش پذیری بین کتکول و تیوبینتال) و در غیاب دیمریزاسیون (بیشترین مقدار) است. بنابراین محلول بافر فسفات (pH=۶/۰) به عنوان الکتروولیت حامل برای اندازه‌گیری تیوبینتال در حضور کتکول انتخاب شد. به منظور بهینه‌سازی قدرت یونی، رفتار الکتروشیمیایی کتکول در حضور تیوبینتال در سه قدرت یونی متفاوت ( $۰/۲۵$ ،  $۰/۰۵$  و  $۰/۳$  مول بر لیتر) بررسی شد و نتایج نشان داد که این سه قدرت یونی (غلظت بافر) دارای جریان قله کاتدی تقریبی یکسانی می‌باشند.

همچنین منحنی  $C$  ولتاژوگرام ثبت شده برای تیوبینتال در غیاب کتکول را نشان می‌دهد. بیشتر بودن میزان جریان مشاهده شده برای کاهش پیک  $A_1$  نسبت به افزایش پیک  $A_1$  علت استفاده از پیک  $C$  و ارجحیت آن به خواص کاتالیزوری پیک  $A_1$  می‌باشد.



شکل ۱. ولتاژوگرام‌های چرخه‌ای غلظت  $۲/۰ \text{ mmol L}^{-۱}$  کتکول (الف) در غیاب و (ب) در حضور غلظت  $۲/۰ \text{ mmol L}^{-۱}$  تیوبینتال و (ج) غلظت  $۲/۰ \text{ mmol L}^{-۱}$  تیوبینتال در غیاب کتکول در سطح الکترود کربن شیشه‌ای در بافر فسفاتی ( $۰/۲ \text{ mol L}^{-۱}$ , pH: ۶/۰,  $۰/۲ \text{ mol L}^{-۱}$ , pH: ۶/۰). سرعت رویش:  $۵۰ \text{ mV s}^{-۱}$ .

### ۲-۳. بررسی و بهینه‌سازی شرایط واکنش

به منظور دستیابی به بالاترین میزان حساسیت و همچنین کمترین میزان حد تشخیص متغیرهای مؤثر بر بزرگی جریان قله کاتدی کتکول (در حضور و در غیاب تیوبینتال) مورد بررسی قرار گرفتند. در بررسی متغیرهای مؤثر، از روش بهینه‌سازی یک متغیر در یک زمان استفاده شد. در این روش همه متغیرها ثابت در نظر گرفته می‌شوند و فقط پارامترهایی که باید بهینه شود تغییر داده می‌شوند. پارامترهایی که مورد بررسی قرار گرفتند عبارتند از: pH، نوع و غلظت الکتروولیت و زمان تجمع.

**بهینه‌سازی pH:** به منظور بررسی pH و دستیابی به pH بهینه برای انجام واکنش شیمیایی همراه بین ارتوکینون حاصله از اکسایش الکتروشیمیایی کتکول و تیوبینتال، بررسی رفتار الکتروشیمیایی کتکول در محیط بافری با pHهای ۳، ۶ و ۹ انجام شد. پس از فراهم ساختن محلول‌های ذکر شده با pHهای مختلف، ولتاژوگرام‌های چرخه‌ای غلظت  $۲/۰ \text{ میلی مول بر لیتر}$  کتکول یک بار در غیاب و بار دیگر در حضور غلظت  $۰/۰۵ \text{ میکرو مول بر لیتر}$  تیوبینتال با سرعت رویش  $۲۰ \text{ میلی ولت بر ثانیه}$  ثبت شد. اختلاف مشاهده شده در

### ۳-۳. تعیین سازوکار واکنش

برای تشخیص سازوکار واکنش مورد نظر از غلظت ۲ میلیمول بر لیتر کتکول در حضور روبش های متفاوت در محیط بهینه ولتاومگرام به<sup>۱</sup>، با سرعت روبش های متفاوت در محیط بهینه ولتاومگرام چرخه ای ثبت شد. با بررسی ولتاومگرام های به دست آمده در سرعت روبش های متفاوت و رسم منحنی های مربوطه و مقایسه نتایج با شروط لازم برای هر یک از سازوکارها، می توان سازوکار واکنش را تعیین کرد. به همین منظور ولتاومگرام چرخه ای غلظت ۲ میلیمول بر لیتر کتکول در حضور غلظت ۲ میلیمول بر لیتر تیوبینتال در محیط بهینه و با سرعت روبش های ۲۰۰، ۱۰۰ و ۳۰۰ میلی ولت بر ثانیه ثبت شد. ولتاومگرام های حاصل شده در شکل (۴-الف) مشاهده می شود. شکل (۴-ب) افزایش نسبت قله کاتدی به آندی را با افزایش سرعت روبش به صورت غیر خطی نشان می دهد که این امر گواه بر سازوکار EC و واکنش کتکول با تیوبینتال می باشد [۱۶]. همچنین جایه جایی پتانسیل قله اکسایش به سمت مقادیر مثبت در اثر افزایش سرعت روبش، از دلایل دیگر EC بودن سازوکار مورد نظر می باشد [۱۶].

کاهش جزئی با افزایش سرعت روبش در منحنی شکل (۴-ج) نیز EC بودن سازوکار را اثبات می کند [۱۶]. برای تکمیل کردن اطلاعات در مورد سازوکار واکنش مورد نظر کولومتری تحت پتانسیل ۰/۵ ولت برای غلظت ۲ میلیمول بر لیتر کتکول در حضور غلظت ۲ میلیمول بر لیتر تیوبینتال در محیط بهینه انجام گرفت و تعداد الکترون در گیر در واکنش در طی انجام کولومتری حدود ۲ الکترون محاسبه شد. برای اطمینان از الکترولیز کامل، پتانسیل اعمال شده مقداری بیش از پتانسیل قله اکسایش کتکول در حضور تیوبینتال انتخاب شده است. با توجه به دو الکترونی بودن اکسایش کتکول و نتیجه به دست آمده برای کل الکترون های مصرفی در کولومتری (۲ الکtron)، یک مرحله ای بودن واکنش الکتروشیمیایی مورد بررسی اثبات می شود. بر این اساس سازوکار پیشنهادی واکنش کتکول و تیوبینتال در شکل (۵) آورده شده است.

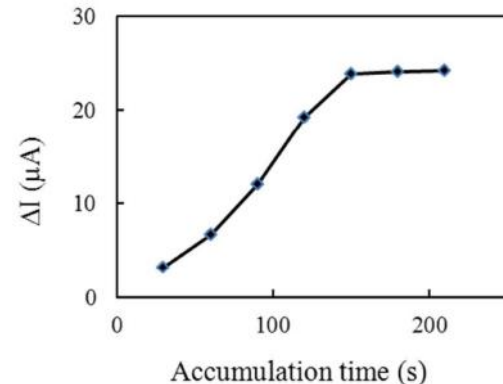
### ۴-۳. ولتاومتری پالس تفاضلی و رسم منحنی کالیبراسیون

یکی از خصوصیاتی که در اندازه گیری های تجزیه ای مهم می باشد گستره دینامیکی خطی الکتروود و کمترین مقدار قابل اندازه گیری آنالیت برای الکتروود مورد نظر است. بنابراین پس از دستیابی به شرایط بهینه برای اندازه گیری تیوبینتال، منحنی کالیبراسیون رسم شد (شکل ۶-الف). ولتاومتری پالس تفاضلی برای اندازه گیری مقادیر مختلف تیوبینتال به کار گرفته شد. ولتاومگرام های مربوطه برای غلظت ۲ میلیمول بر لیتر از کتکول تحت شرایط بهینه شده و در حضور غلظت های متفاوت تیوبینتال ثبت شد. ولتاومگرام ها به وضوح نشان می دهند که جریان قله کاهش (Ip<sub>Cl</sub>) بر حسب غلظت تیوبینتال در محدوده ۵/۰ تا ۱۲۵/۰ میکرو مول بر لیتر رابطه خطی دارد ( معادله (۱)).

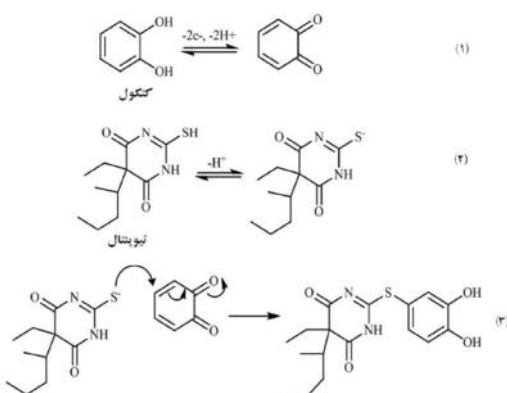
$$\Delta I (\mu A) = 431.14C (\text{mmol L}^{-1}) + 1.9985 \quad (1)$$

بنابراین غلظت ۰/۰ مول بر لیتر به عنوان غلظت بهینه برای محلول الکتروولیت انتخاب شد.

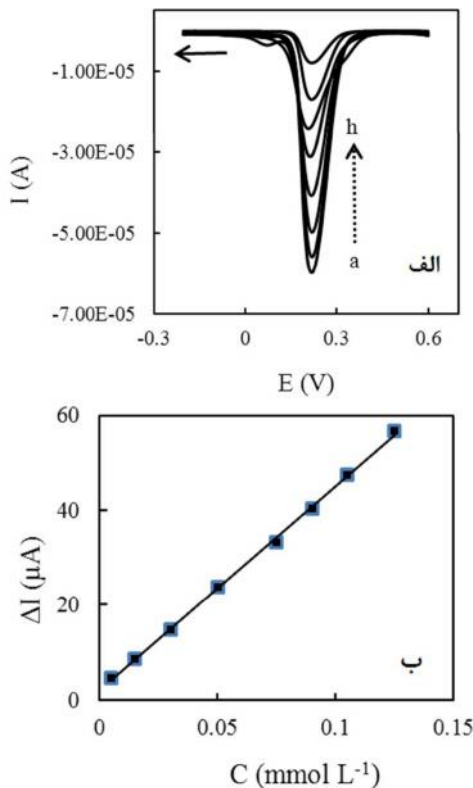
**بهینه سازی زمان تجمع:** زمان تجمع، زمان مورد نیاز برای پیش تغییض کتکول در سطح الکتروود کردن شیشه ای قبل از اعمال پتانسیل اکسایش می باشد. همان طور که در قسمت قبل ذکر شد، برای به دست آوردن بهترین زمان جهت رسیدن به بیشترین علامت تجزیه ای محلول با غلظت ۵۰/۰ میکرومول بر لیتر از تیوبینتال و ۲۰/۰ میلیمول بر لیتر از کتکول تهیه شد. برای اطمینان از اکسید شدن کامل کتکول و واکنش با تیوبینتال، این محلول تحت پتانسیل ۰/۶ ولت قرار گرفت و در زمان های مختلف ولتاومگرام های پالس تفاضلی آن در محدوده ۰/۶ تا ۰/۲ ولت ثبت شد. ولتاومگرام های مربوط به محلول کتکول ۲۰ میلیمول بر لیتر ( محلول شاهد ) نیز تحت همان شرایط و در غیاب تیوبینتال به دست آمد. اختلاف بین جریان های قله کاتدی کتکول در دو حالت به عنوان علامت تجزیه ای در نظر گرفته شد. همان طور که در شکل (۳) نشان داده است، علامت تجزیه ای با افزایش زمان تجمع افزایش می یابد که این امر به علت افزایش غلظت ارتوکینون در سطح الکتروود و در نتیجه افزایش میزان واکنش شیمیایی ( واکنش افزایش مایکل ) بین تیوبینتال و ارتوکینون می باشد. در مدت زمان ۱۵۰ ثانیه غلظت ارتوکینون تجمع یافته در سطح الکتروود به بیشترین میزان خود رسیده و در نتیجه واکنش شیمیایی و علامت تجزیه ای نیز به حداقل میزان خود رسید. پس از مدت ۱۵۰ ثانیه سطح الکتروود از ارتوکینون اشباع می شود و بنابراین با افزایش مدت زمان تجمع علامت ثابت می گردد که این امر به علت اشباع شدن سطح الکتروود اتفاق می افتد. بنابراین ۱۵۰ ثانیه برای زمان تجمع انتخاب شد تا بیشترین علامت تجزیه ای تیوبینتال به دست آید.



شکل ۳. نمودار علامت تجزیه ای ( اختلاف جریان ) غلظت ۰/۰ mmol L<sup>-1</sup> کتکول در حضور و غیاب تیوبینتال در بافر فسفاتی (۰/۲ mol L<sup>-1</sup>, pH: ۶/۰) در سطح الکتروود کرین شیشه ای در زمان های مختلف تحت پتانسیل ۰/۶ ولت. سرعت روبش: ۱۵۰ mV s<sup>-1</sup>



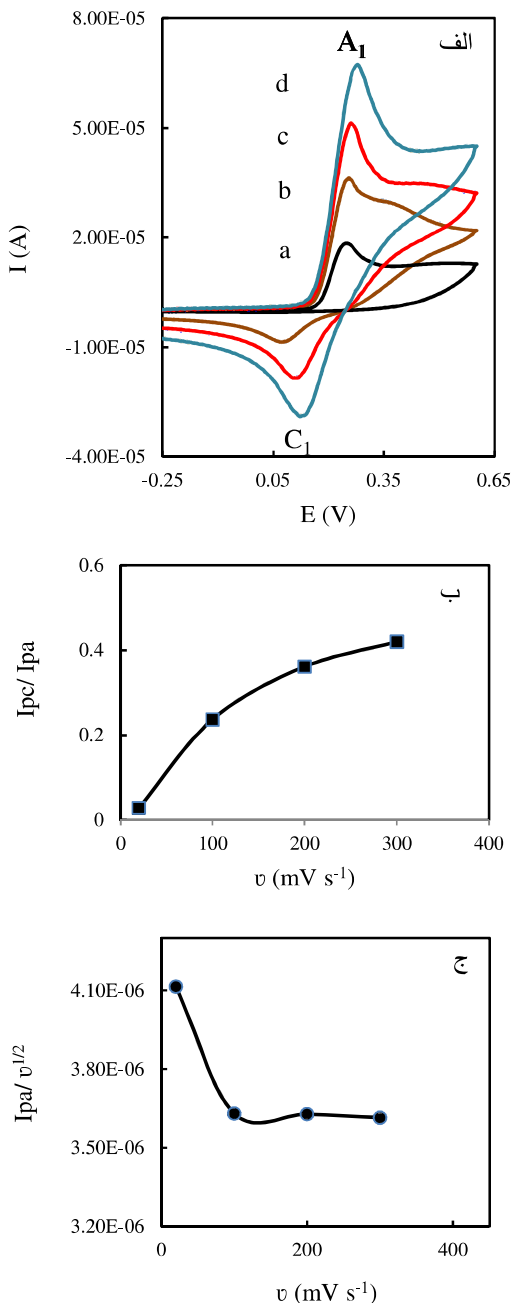
شکل ۵. نمایش سازوکار پیشنهادی واکنش بین کتکول و تیوبنیتال



شکل ۶. (الف) ولتاژوگرام‌های پالسی تفاضلی غلظت  $\text{L}^{-1}$  کتکول در حضور غلظت‌های مختلف تیوبنیتال در بافر فسفاتی (pH: ۶/۰، و پس از ۱۵۰ ثانیه تجمع تحت پتانسیل ۰/۰ ولت. ب) منحني کالیبراسیون. غلظت‌های تیوبنیتال عبارتند از: ۰/۶ (h), ۰/۵ (f), ۰/۷ (e), ۰/۵ (d), ۰/۳ (c), ۰/۱ (g), ۰/۹ (b), ۰/۵ (a)  $\mu\text{mol L}^{-1}$ . سرعت روش:  $20 \text{ mV s}^{-1}$ .

### ۳-۵. دقت واحد تشخیص

برای بررسی تکرارپذیری روش غلظت  $55/۰$  میکرومول بر لیتر تیوبنیتال مورد استفاده قرار گرفت. به این منظور ۷ اندازه‌گیری تکراری بر روی محلول تیوبنیتال  $55/۰$  میکرومول بر لیتر در حضور غلظت  $2/۰$  میلی‌مول بر لیتر کتکول در محدوده پتانسیل  $۰/۶$  تا  $-۰/۲$  ولت تحت شرایط



شکل ۴. (الف) ولتاژوگرام‌های غلظت  $\text{L}^{-1}$  کتکول در حضور غلظت  $\text{L}^{-1}$  تیوبنیتال در سطح الکترود کربن شیشه‌ای در محلول بافر فسفاتی ( $\text{L}^{-1}$  mol) (pH: ۶/۰،  $0/۲$  mol) و سرعت روش‌های مختلف. (ب) نمودار نسبت جریان کاتدی به آندی بر حسب سرعت روش. (ج) نمودار نسبت جریان بر حسب سرعت روش سرعت روش‌ها از (a) تا (d) به ترتیب عبارتند از:  $200$ ,  $100$ ,  $20$  و  $200$ ,  $100$ ,  $20$   $\text{mV s}^{-1}$ .

شیب خط  $431/۱$  (میکروآمپر بر حسب میلی‌مول بر لیتر)، حد تشخیص  $20/۲$  میکرو مول بر لیتر و ضریب همبستگی  $9991/۰$  به دست آمد که در شکل (۶ ب) مشاهده می‌شود.

### ۱.۷-۳. اندازه‌گیری نمونه حقيقی

ابتدا برای آماده‌سازی نمونه میزان ۱۰ میلی‌لیتر از سرم خون با ۵ میلی‌لیتر از بافر فسفات مخلوط شد. سپس مقدار تیوبنتال (اضافه شده) موجود در آن در حضور کتکول با استفاده از روش افزایش استاندارد اندازه‌گیری شد. داده‌های حاصل در جدول (۳) ارائه شده است. نتایج بیانگر دقت و صحت بالای روش برای اندازه‌گیری تیوبنتال در سرم است.

**جدول ۲.** بررسی مزاحمت برخی گونه‌ها در اندازه‌گیری تیوبنتال در غلظت  $50/0 \mu\text{mol L}^{-1}$

حد مجاز غلظت گونه به غلظت	گونه‌های مورد بررسی
۱۰۰	$\text{HPO}_4^{2-}, \text{H}_2\text{PO}_4^-, \text{C}_2\text{O}_4^{2-}, \text{Cl}^-, \text{NO}_3^-, \text{SO}_4^{2-}$ $\text{Al}^{3+}, \text{Ni}^{2+}, \text{Pb}^{2+}, \text{Cd}^{2+}$
۵۰	$\text{Mg}^{2+}, \text{ClO}_4^-, \text{Ba}^{2+}, \text{Ca}^{2+}$
۱	باریتوريک <sup>۱</sup> $\text{Fe}^{2+}, \text{Cu}^{2+}$

**جدول ۳.** نتایج اندازه‌گیری تیوبنتال در سرم (درجه اطمینان ۹۵٪)

%RSD	میزان بازیابی (%)	مقدار یافت شده $\mu\text{mol L}^{-1}$	مقدار اضافه شده $\mu\text{mol L}^{-1}$	نمونه
-	-	.	.	
۳/۲	۹۸/۵	$۵۴/۲ \pm ۰/۴$	۵۵	سرم
۲/۲	۱۰۱/۲	$۱۱۱/۳ \pm ۰/۶$	۱۱۰	

\* میانگین سه اندازه‌گیری تکراری

### ۴. نتیجه‌گیری

در این تحقیق، اکسایش الکتروشیمیایی کتکول در حضور تیوبنتال با تکنیک ولتاویری چرخه‌ای مورد بررسی قرار گرفت. همچنین، اثر pH محلول بافر و سرعت روبش پتانسیل شرح داده شد. حضور تیوبنتال باعث کاهش جریان قله کاهشی کتکول می‌شود که این رفتار نشان دهنده برهمکنش شیمیایی بین ارتوکیون حاصل شده از اکسایش الکتروشیمیایی کتکول و تیوبنتال می‌باشد. برهمکنش تیوبنتال با کتکول می‌تواند برای اندازه‌گیری مقادیر میکرومولار تیوبنتال به کار رود. این تکنیک برتری‌های ویژه‌ای نسبت به الکترودهای کربن شیشه‌ای اصلاح شده نیازی به آماده‌سازی بیشیده ندارد. کم بودن الکترودهای اصلاح شده نیازی به این روش می‌باشد. به طور کلی گونه‌های مزاحم، حد تشخیص مناسب، محدوده دینامیک خطی خوب، حساسیت بالا از ویژگی‌های این روش می‌باشد. به طور کلی می‌توان نتیجه گرفت که از این روش می‌توان برای اندازه‌گیری مقادیر انک تیوبنتال با دقت و صحت بالا استفاده کرد.

بهینه شده انجام شد. بعد از ثبت ولتاوگرام‌ها، جریان کاتدی اندازه‌گیری شد. سپس جریان کاتدی مربوط به غلظت  $2/۰$  میلی‌مول بر لیتر کتکول نیز در محدوده پتانسیل فوق به عنوان علامت شاهد ۷ بار اندازه‌گیری شد و میانگین جریان‌های کاتدی مورد استفاده قرار گرفت. از تفاضل جریان قله کاتدی مربوط به حضور تیوبنتال ( $I_1$ ) با جریان قله کاتدی در غیاب تیوبنتال ( $I_0$ )، جریان خالص برای هر اندازه‌گیری به دست می‌آید. پس از آن انحراف استاندارد و انحراف استاندارد نسبی جریان محاسبه می‌شود. مقدار انحراف استاندارد نسبی به دست آمده دقت بسیار خوب روش را نشان می‌دهد (جدول (۱)).

**جدول ۱.** بررسی نکار پذیری روش در شرایط بهینه

%RSD	میانگین جریان ( $\mu\text{A}$ )	جریان اندازه‌گیری شده ( $\mu\text{A}$ )
۱/۳	۲۲/۷	$۲۳/۴, ۲۲/۹, ۲۳/۵$ $۲۳/۳, ۲۲/۸, ۲۴/۲$

سرعت روبش:  $۵۰/۰ \mu\text{mol L}^{-1}$ . غلظت تیوبنتال:  $۲۰ \text{mV s}^{-1}$ .

برای تعیین حد تشخیص روش از معادله (۲) استفاده شد [۱۷]. در این رابطه  $S_{\text{b}}$  انحراف استاندارد علامت شاهد و  $m$  شبیه منحنی کالیبراسیون است. برای به دست آوردن انحراف استاندارد علامت شاهد در شرایط بهینه، ۷ اندازه‌گیری تکراری با سرعت روبش  $۲۰$  میلی‌ولت بر ثانیه در گستره پتانسیل  $۶/۰$  تا  $-۰/۲$  ولت بر روی محلول شاهد (غلظت  $۲$  میلی‌مول بر لیتر کتکول) تحت شرایط بهینه انجام شد. پس از اندازه‌گیری شدت جریان کاتدی مربوط به غلظت  $۲$  میلی‌مول بر لیتر کتکول در محلول شاهد، انحراف استاندارد علامت شاهد مقادیر  $۰/۲۹۱$  میکروآمپر محاسبه شد که با توجه به شبیه منحنی کالیبراسیون ( $L = ۴۳۱/۱۴ \mu\text{A mmol L}^{-1}$ ) حد تشخیص  $۲۰$  میکرومول بر لیتر به دست آمد.

$$\text{LOD} = \frac{3S_{\text{b}}}{m} \quad (2)$$

### ۵-۳. بررسی اثر مزاحمت‌ها

برای بررسی اثر مزاحمت‌ها در اندازه‌گیری تیوبنتال در حضور کتکول، از غلظت  $۵۰/۰$  میکرو مول بر لیتر تیوبنتال در حضور غلظت  $۲$  میلی‌مول بر لیتر کتکول در بافر فسفات  $۰/۲$  مول بر لیتر،  $pH = ۶/۰$  تحت شرایط بهینه استفاده شد. مواد بالقوه مزاحم از گروهی از مواد که می‌توانند همراه با تیوبنتال وجود داشته باشند، انتخاب شدند. حد مجاز به عنوان حداقل غلظت ماده که به اندازه  $\pm ۵/۰$ ٪ در اندازه‌گیری تیوبنتال خطای نسبی ایجاد می‌کند، تعیین شد. نتایج در جدول (۲) خلاصه شده است.

گونه‌های  $\text{Fe}^{2+}$ ,  $\text{Cu}^{2+}$ , و باریتوريک از طریق تغییر پتانسیل قله کاتدی ( $C_1$ ، تغییر دادن شکل قله و کاهش جریان قله کاتدی ( $C_1$  در اندازه‌گیری تیوبنتال در حضور کتکول تداخل ایجاد می‌کنند).

- [9] Kelner, M.; Bailey, D. N. "Reversed-Phase Liquid-Chromatographic Simultaneous Analysis for Thiopental and Pentobarbital in Serum"; *Clin. Chem.* 1983, 29, 1097-1100.
- [10] Zakrzewski, R.; Ciesielski, W. "Determination of Thiopental in Urine Sample with High-Performance Liquid Chromatography Using Iodine-Azide Reaction as a Postcolumn Detection System"; *J. Chromatograph. B* 2005, 824, 327-332.
- [11] Ali, A. M. M.; Farghaly, O. A.; Ghandour, M. A. "Determination of Thiopentone Sodium in Aqueous and Biological Media by Cathodic Stripping Voltammetry"; *Anal. Chim. Acta* 2000, 99-110.
- [12] Najafi, M.; Baghbanan, A. A. "Capacitive Chemical Sensor for Thiopental Assay Based on Electropolymerized Molecularly Imprinted Polymer"; *Electroanal.* 2012, 24, 1236 – 1242.
- [13] Shahrokhan, S.; Saberi, S. "Differential Pulse Voltammetric Determination of Propyl Thiouracil and Methyl Thiouracil using their Catalytic Effects on the Electrochemical Oxidation of Catechol"; *Int. J. Electrochem. Sci.* 2007, 2, 158-168.
- [14] Ensafi, A. A.; Karimi-Maleh, H.; Mallakpour, S.; Rezaei, B. "Highly Sensitive Voltammetric Sensor Based on Catechol-Derivative-Multiwall Carbon Nanotubes for the Catalytic Determination of Captopril in Patient Human Urine Samples"; *Colloids and Surfaces B*. 2011, 87, 480-488.
- [15] Fotouhi, L.; Khakpour, M.; Nematollahi, D.; Heravi, M. M. "Investigation of the Electrochemical Behavior of Some Catechols in the Presence of 4,6-Dimethylpyrimidine-2-Thiol"; *Arkivoc*. 2008, 43-52.
- [16] Bard, A. J.; Faulkner, L. R. "Electrochemical Methods, Fundamental and Applications"; John Wiley & Sons, Inc.; 2001.
- [17] Long, G. L.; Winefordner, J. D. "Limit of Detection. A Closer Look at the IUPAC Definition" *Anal. Chem.*, 1983, 55 712A-724A

## ۵. مراجع

- [1] Khan, S. N.; Islam, B.; Rajeswari, M. R.; Usmani, H.; Khan, A. U. "Interaction of Anesthetic Supplement Thiopental with Human Serum Albumin"; *Acta. Biochim. Pol.* 2008, 55, 399-409.
- [2] Coppa, G.; Testa, R.; Margarucci, G. A.; Testa, I.; Tocchini, M.; Bonfigli, A. R. "Fast, Simple and Cost-Effective Determination of Thiopental in Human Plasma by a New HPLC Technique"; *Clin. Chim. Acta*. 2001, 305, 41-45.
- [3] Coolong, K.; McGough, E.; Vacchiano, C.; Pellegrini, J. "Comparison of the Effects of Propofol Versus Thiopental Induction on Postoperative Outcomes Following Surgical Procedures Longer than 2 Hours"; *AANA. Journal* 2003, 71, 215-222.
- [4] Nashwa, R.; Samah, A.; Salem, H.; Yasser, A. "Thiopental and Phenytoin as Novel Ionophores for Potentiometric Determination of Lead (II) Ions"; *Sensors* 2009, 9, 1860-1875.
- [5] Baiulescu, G.E.; Cosofret, V.V. "A Liquid State  $Hg^{2+}$ -Sensitive Electrode"; *Talanta* 1976, 23, 677-678.
- [6] Rizk, N. M. H., Othman, A. H. M. "Membrane Sensors for the Selective Determination of Thiopental"; *Anal. Sci.* 2005, 21, 107-110.
- [7] Saleh, G. A. "Charge-Transfer Complexes of Barbiturates and Phenytoin"; *Talanta* 1998, 46, 111-121.
- [8] Ebling, W. F.; Mills-Williams, L.; Harapat, S. R.; Stanski, D. R. "High-Performance Liquid Chromatographic Method for Determining Thiopental Concentrations in Twelve Rat Tissues: Application to Physiologic Modeling of Disposition of Barbiturate"; *J. Chromatogr.* 1989, 490, 339-353.